

S. Javanmard, Ph. D

I. Babaeian.

J. Bodaghjamali, Ph. D

A. R. Shahabfar, L. Khazanedari

دکتر سهیلا جوانمرد، پژوهشکده‌های هواشناسی، اقلیم‌شناسی، امیرکبیر جهان

ایمان باباییان، پژوهشکده اقلیم‌شناسی مشهد

دکتر جواد بداق جمالی، پژوهشکده‌های هواشناسی، اقلیم‌شناسی، امیرکبیر جهان

علیرضا شهاب‌فر، لیلی خزانه‌داری، پژوهشکده اقلیم‌شناسی مشهد

شماره مقاله: ۵۹۴

## بررسی همبستگی بین تغییرات فشار قزاقستان - دریای عمان با نوسانهای بارش ایران

### چکیده

فشار، مهمترین عامل کنترل کننده رفتار جو به عنوان یک سیال است. با پیش‌بینی تغییرات فشار جو، می‌توان سایر پارامترهای وابسته نظیر بارش را پیش‌بینی کرد. در این مقاله، با هدف بررسی تغییر اقلیم از دیدگاه سینوپتیکی، داده‌های فشار منطقه خاورمیانه استخراج و الگوهای سینوپتیکی منطقه‌ای واقع در در (۳۰°N و ۱۵°N) تا (۸۰°E و ۵۵°N) مورد مطالعه قرار گرفت. برای این منظور، داده‌های فشار سالهای ۱۹۶۱ تا ۲۰۰۰ میلادی از مرکز مطالعات اقلیمی (CRU) اخذ و پس از بررسیهای آماری و ارزیابی، برای تهیه نقشه‌های سینوپتیکی مورد استفاده قرار گرفتند. نقشه‌های دوره آماری به تفکیک فصل و سال برای دوره آماری ۱۹۹۰ تا ۱۹۹۱ و سپس نقشه‌های سینوپتیکی سالهای ۱۹۹۱ تا ۲۰۰۰ که به صورت فصلی و سالانه تهیه شده بودند، با نقشه‌های دوره آماری مقایسه شدند. نتایج اولیه حاکی از افزایش بارش در جنوب کشور در صورت تقویت کم فشار واقع در عرض ۲۰°N (واقع بر روی دریای عمان)، کاهش بارندگی نوار شمالی کشور با تقویت پرفشار عرض ۵۰°N (واقع بر روی قزاقستان) و همچنین افزایش بارش کشور در صورت تقویت گرادیان فشاری شمال‌شرقی - جنوب‌غربی است. کلید واژه‌ها: فشار سطح دریا، دوره آماری، الگوی سینوپتیکی بارندگی، خشکسالی.

### مقدمه

فشار، مهمترین عامل کنترل کننده رفتار جو زمین و اقلیم است. تغییر الگوهای فشار، می‌تواند توزیع بارش و سایر پارامترهای هواشناسی را در یک منطقه تغییر دهد. مطالعه و بررسی الگوهای فشار در سطح زمین و سطوح فوقانی جو، به طور توازن، دارای اهمیت است. برخلاف مطالعات نسبتاً جامعی که بر روی الگوهای فشار مطح زمین انجام شده، مطالعات الگوهای فشار سطوح فوقانی محدود است.

از جمله مطالعات انجام شده می‌توان به کارهای استارک (Stark, 1965) و هارمان (Harman, 1991) اشاره کرد. بر اساس مدل گردنش عمومی جو، منطقه حاره و عرضهای میانی در گستره الگوهای کم فشار و کلاهک قطبی و جنب حاره در گستره الگوهای پرفشار هستند. بر این اساس، توزیع بارش نیز به طور کلی همواری خوبی با مراکز فشار دارد (علیجانی، ۱۳۷۱، ۲۱). اما در بستر گردنش عمومی جو، چرخشهای در مقیاس کوچک وجود دارند که الگوی بارش مناطق مذکور متأثر از این چرخشهای میان مقیاس است. از جمله این چرخشهای می‌توان به بعضی سیگنالهای هواشناسی مانند OBO, AO, PNA, SO, NAO و ... اشاره کرد که هم‌اکنون محققان زیادی به مطالعه اثرهای آنها بر روی الگوی بارش و دما در نیمکره شمالی مشغول هستند (Shahabbar, et al., 2001). به عنوان مثال، NAO نوسان فشار بین دو الگوی کم فشار ایسلند و پرفشار آзор می‌باشد که فاز مثبت آن موجب افزایش بارندگی در مرکز و شمال اروپا، و فاز منفی آن موجب کاهش بارندگی در جنوب اروپا و خاورمیانه می‌گردد. محدوده اثر این سیگنال هواشناسی، از سواحل شرقی ایالات متحده تا سیبری و از بخش شمالگان اقیانوس اطلس تا بخش استوایی آن است (Rogers, 1984). سیگنال هواشناسی دیگر مؤثر که بر روی الگوهای بارش و دما، SO است که نوسان فشار بین دو مرکز کم فشار واقع بر روی منطقه ایندوسترالیا و پرفشار اقیانوس آرام جنوبی است. نوسان فشار در این دو مرکز، نقش کنترلی بسیار مهمی در توزیع بارش در منطقه مذکور و حتی سایر نقاط کره زمین - بخصوص در منطقه حاره - دارد. به دلیل همزمانی عمل معکوس شدن الگوی فشار منطقه با گرم شدن اقیانوس، دانشمندان هواشناسی این پدیده را *الینو- نوسان جنوبی* یا به اختصار *enso*<sup>۱</sup> نامگذاری کرده‌اند (Ahrens, 2003).

### الگوهای سینوپتیکی آسیا و خاورمیانه

توزیع بارش در خاورمیانه بخصوص ایران، از الگوهای سینوپتیکی مختلفی متأثر است که مهمترین آنها عبارتند از: پرفشار آзор، پرفشار سیبری، کم فشار سودانی، کم فشار مدیترانه و کم فشارهای حرارتی. همچنین، برخی الگوهای دیگر مانند کم فشار ایسلند و ایندوسترالیا و پرفشار اقیانوس آرام جنوبی که به طور غیر مستقیم بر روی کشور ایران و خاورمیانه تأثیر می‌گذارند. در ذیل توضیح مختصراً راجع به الگوهای سینوپتیکی قابل ملاحظه و مؤثر بر منطقه ارائه می‌شود (زاده‌ی، ۱۳۷۱).

**پرفشار سیبری:** برخلاف پرفشارهای جنب حاره‌ای، پرفشارهای مناطق جنب قطبی مانند پرفشار سیبری از نوع سرد بوده و بدلیل فرونژینی هوا و سرمایش سطحی ناشی از تشعشع طول موج بلند، به وجود

می‌آیند. پرفشار مذکور به عنوان قویترین پرفشار جهان شناخته شده و ماهیت آن عمدتاً حرارتی است. این الگو در شرق ایران و کشورهای مشترک المنافع، از اواسط پاییز، تا اوایل بهار تشکیل می‌شود. این الگو عموماً با پایداری هوا و کاهش نزولات جوی همراه است.

**پرفشار آزور:** این الگو در منطقه جنوب حاره و در حوالی ۲۰ تا ۵۰ درجه غربی و ۲۰ تا ۴۰ درجه شمالی، در نزدیکی مجمع الجزایر موسوم به آزور تشکیل می‌شود. این پرفشار در حالت مانع جلو و زش بادهای غربی را می‌گیرد و در تابستان در سراسر دریای مدیترانه به صورت شرقی- غربی در می‌آید و مانع چرخندایی شده، موجب هدایت سیستمهای غربی به سمت اروپای مرکزی می‌گردد. مطالعات انجام شده، ارتباط بین رژیم بارش ایران و تغییرات مکانی و زمانی پرفشار آزور را نشان داده‌اند.

**تغییر الگوی فشاری پرفشار آزور** به شکسته شدن ناوه عمیق مستقر در مدیترانه منجر می‌گردد. این عامل می‌تواند توزیع زمانی و مکانی بارندگی را در کشورهای مختلف از جمله ایران تغییر دهد (سیزی پرور، ۱۳۷۹).

**کم فشار سودانی:** این الگو در شمال آفریقا تشکیل می‌گردد و در فصول تابستان به صورت یک کم فشار حرارتی عمل می‌کند و در زمستان رفتار آن به صورت دینامیکی است. هر چقدر چرخندای ایجاد شده توسط این کم فشار به عرض ۳۰ درجه نزدیکتر شوند، بیشتر در مسیر بادهای غربی قرار می‌گیرند و کاملاً به صورت دینامیک در می‌آیند. هرگاه کم فشار سودانی و مدیترانه‌ای با هم مرتبط شوند، ناوه عمیقی در شرق مدیترانه به وجود می‌آید و موجب بارشهای سنگین در اغلب نقاط ایران می‌گردد.

**کم فشار مدیترانه‌ای:** در زمستان، وقتی دریای مدیترانه بیش از ۶ درجه از خشکیهای همجوار آن گرمتر است، متبع بسیار مناسب انرژی است. این منطقه از نظر دینامیکی، یک ناحیه انتقالی بین قسمتهای مرکزی و شمالی اروپا (کمریند بادهای غربی) و بیابانهای شمال آفریقاست که ناحیه استیلای مرکز پرفشار جنوب حاره می‌باشد. در اوایل پاییز، وقتی یک شاخه از جریان اصلی غربی به طرف جنوب ورودی مدیترانه انتقالی می‌یابد، دماها به طور شدیدی کاهش می‌یابد و استیلای پرفشار جنوب حاره پایان می‌پذیرد و به تدریج کم فشار مدیترانه شکل می‌گیرد. کم فشار مدیترانه، پرفشار سیبری را از پرفشار آزور جدا می‌کند.

مدیترانه یکی از مناطق مهم سیکلونزایی، بخصوص در فصل زمستان بوده و بارشهای گرمای محسوس و نهان نقش اصلی را در دینامیک سیکلونهای مدیترانه‌ای دارند. مسیر سیکلونهای مدیترانه‌ای در طول ماه فوریه عمدتاً مناطق جنوبی و در طول دوره دسامبر تا ژانویه مناطق شمالی دریای مدیترانه

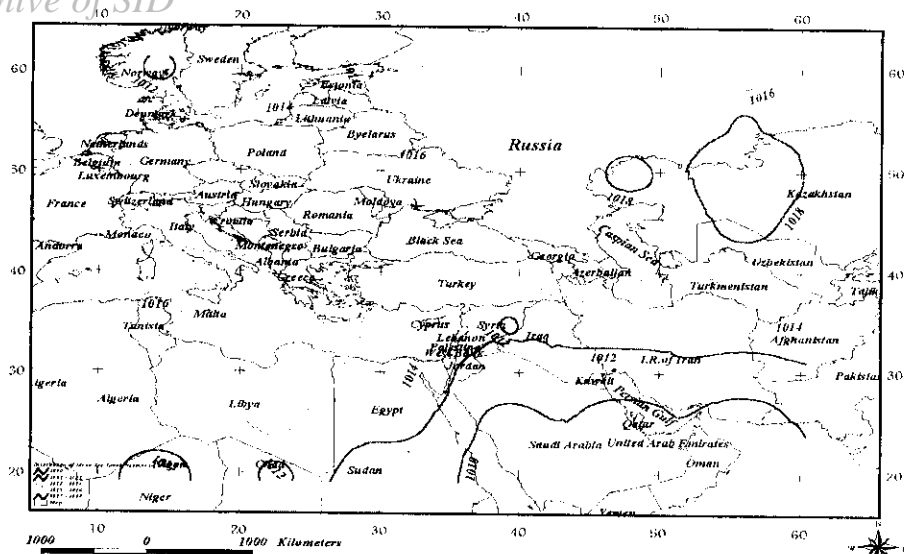
**کم فشارهای حرارتی:** کم فشارهای حرارتی تأثیرگذار بر ایران، شامل کم فشار مونسون هندوستان و صحرای عربستان هستند. شکل گیری این الگوها عموماً از اواسط بهار آغاز می‌شود و در تابستان در بخش‌های جنوبی و مرکزی ایران فعال می‌باشد. پدیده‌های همراه با کم فشار حرارتی صحرای عربستان، عموماً گرما و گرد و خاک بوده اما همراه با کم فشار مونسونی علاوه بر افزایش دما پدیده بارندگی نیز وجود دارد. بارندگی تابستانه ناشی از کم فشار مونسونی در بخش‌های جنوب شرقی کشور مشهود است؛ اما چنانچه با فعالیت کم فشار حرارتی در بخش‌های مرکزی کشور و وجود پرفشار بر روی سواحل خزر همزمان باشد، بارشهایی نیز در سواحل خزر و شمال استان خراسان خواهیم داشت.

#### داده‌ها، منطقه و دوره مورد مطالعه

کلیه الگوهای سینوپتیکی دوره آماری ۱۹۶۱-۱۹۹۰ و همچنین سالهای ۲۰۰۰-۱۹۹۱، با استفاده از داده‌های فشار  $5 \times 10^5$  درجه (۵ درجه عرض جغرافیایی) مرکز NCEP<sup>۲</sup> تهیه شدند. برای اطمینان از درستی داده‌ها، نقشه‌های دیگری با استفاده از داده‌های سازمان هواشناسی کشور (مرکز خدمات رایانه‌ای سازمان هواشناسی کشور، ۱۳۸۲) تهیه و با نقشه‌های NCEP مقایسه گردید. ناحیه ( $E^{\circ}$  و  $N^{\circ}$ ) تا ( $E^{\circ} ۸۰$  و  $N^{\circ} ۵۵$ ) بعنوان منطقه مورد مطالعه انتخاب شد. انتخاب این منطقه به این دلیل بود که شکل گیری سیستمهای غربی و همچنین پرفشار سیری، کم فشار حرارتی و کم فشار سودانی، در این ناحیه قرار می‌گیرد (شکل ۱) (علیجانی، ۱۳۷۱، ۲۹). دوره آماری بلندمدت ۱۹۶۱ تا ۲۰۰۰، برای انجام مطالعه انتخاب شد، که در این بین الگوهای سینوپتیکی سالهای ۱۹۶۱ تا ۱۹۹۰ (سی سال) به عنوان الگوهای دوره آماری مبنا لحاظ شدند. به منظور آشکارسازی تغییر اقلیم از دیدگاه سینوپتیکی، الگوهای سینوپتیکی سالهای ۱۹۹۱ تا ۲۰۰۰ به صورت سالانه و فصلی با این الگوها مقایسه شدند.

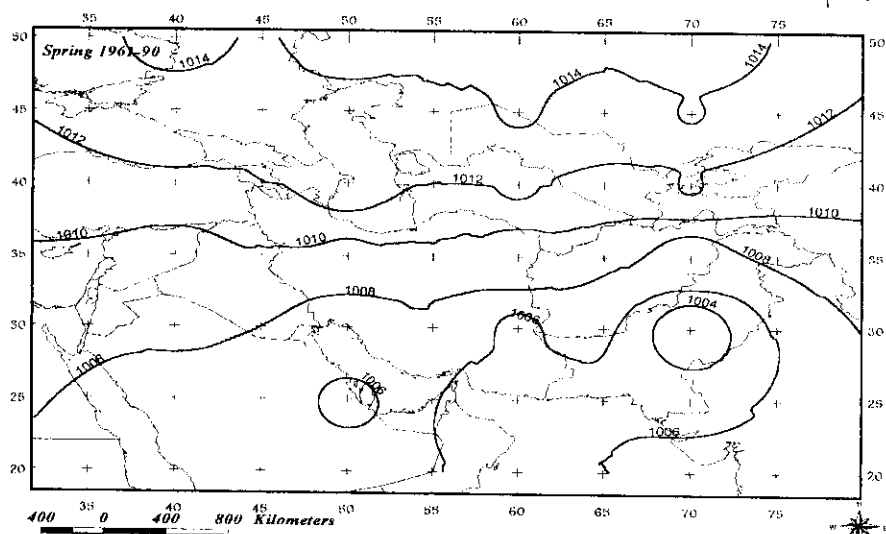
#### الگوهای سینوپتیکی دوره آماری ۱۹۶۱ تا ۱۹۹۰

در شکلهای ۱ تا ۴، الگوهای سینوپتیکی دوره آماری سالهای ۱۹۶۱ تا ۱۹۹۰ به تفکیک فصل و سال دیده می‌شود. شکل ۱، الگوی فشار میانگین سالهای ۱۹۶۱ تا ۱۹۹۰ (دوره ۳۰ ساله) را نشان می‌دهد. بر اساس این نقشه، مدار ۴۵ تا ۶۰ درجه جغرافیایی در سیطره پرفشار قرار داشته و مرکز پرفشار با ایزوبار ۱۰۱۸ میلی باری بر روی کشور قراقتان قرار دارد (Alpert, 1990). حاشیه جنوبی خلیج فارس و دریای عمان و همچنین جنوب ایران نیز در گستره الگوی کم فشار قرار دارند. این الگوی کم فشار، با کنتور ۱۰۱۰ میلی باری از دریای سرخ تا شرق نقشه کشیده شده است.



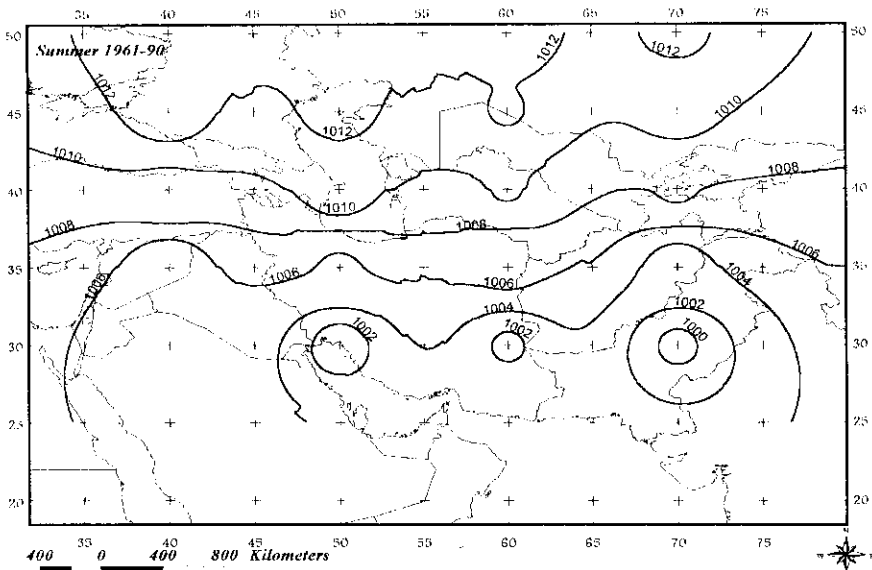
شکل ۱ توزیع میانگین فشار منطقه مورد مطالعه در دوره آماری ۱۹۶۱-۱۹۹۰

در شکل ۲، الگوی دوره آماری فصل بهار دیده می‌شود. بر اساس این نقشه، ایزوبار ۱۰۱۲ میلی‌باری از جنوب ترکمنستان تا شمال غرب ایران عبور کرده است. همچنین، از جنوب شرق کشور ایزوبار ۱۰۰۶ میلی‌باری عبور می‌کند و در جنوب خلیج فارس، کم فشار بسته ۱۰۰۴ میلی‌باری قرار دارد. بر روی مرکز پاکستان نیز کم فشار بسته ۱۰۰۴ میلی‌باری دیده می‌شود (Jamali, 2004).



شکل ۲ توزیع میانگین فشار فصل بهار منطقه مورد مطالعه در دوره آماری ۱۹۶۱-۱۹۹۰ [www.SID.ir](http://www.SID.ir)

شکل ۳، الگوی سینوپتیکی فشار برای تابستان در دوره آماری را نشان می‌دهد. در جنوب شرق و جنوب غرب کشور، دو سلول بسته ۱۰۰۲ میلی باری دیده می‌شود. بر روی کشور پاکستان، کم فشار بسته ۱۰۰۰ میلی باری قرار گرفته و ایزوبار ۱۰۰۸ میلی باری از شمال کشور گذشته است. وجود دو سلول کم فشار بسته ۱۰۰۲ میلی باری، نشان دهنده وجود کم فشارهای حرارتی در جنوب شرق کشور بهدلیل فعالیت موسمون، و در جنوب غرب بهدلیل فعالیت موسمون و کم فشار حرارتی عربستان می‌باشد.



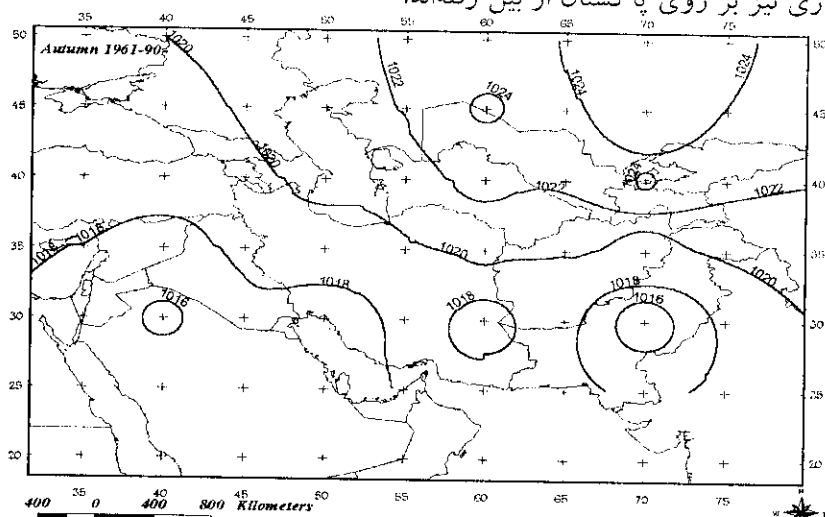
شکل ۳ توزیع میانگین فشار تابستانه منطقه مورد مطالعه در دوره آماری ۱۹۶۱-۱۹۹۰

در شکل ۴، الگوی سینوپتیکی فشار برای فصل پاییز در دوره آماری ملاحظه می‌شود. ظهرور پر فشار سیبری با ایزوبار ۱۰۲۴ میلی باری بر روی قزاقستان و سایر مناطق همجوار، کاملاً مشهود است. از شمال شرق تا شمال غرب ایران، ایزوبار مورب ۱۰۲۰ میلی باری عبور کرده است. در جنوب شرق کشور، کم فشار بسته ۱۰۱۸ میلی باری دیده می‌شود. از بخش‌های جنوبی و جنوب غربی کشور نیز کم فشار ۱۰۱۸ میلی باری عبور کرده است. همچنین، در شمال عربستان، کم فشار بسته ۱۰۱۶ میلی باری دیده می‌شود.

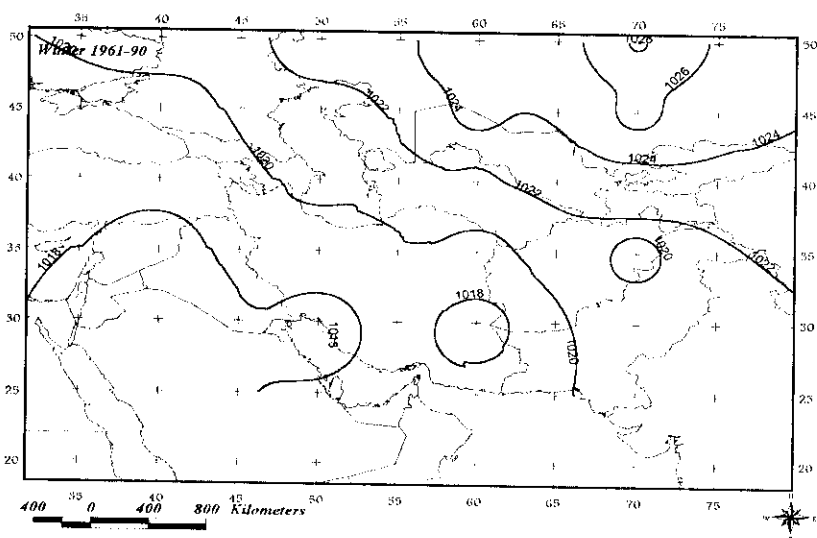
شکل ۵، نشان دهنده الگوی سینوپتیکی فشار در فصل زمستان در دوره آماری است. این الگو، مشابهت زیادی با الگوی فصل پاییز دارد، با این تفاوت که بر روی قزاقستان و آسیای مرکزی، ایزوبار ۱۰۱۸ میلی باری نیز دیده می‌شود.

همچنین، سلول کم فشار ۱۰۱۶ میلیباری بر روی شمال عربستان و کم فشارهای ۱۰۱۶ و

۱۰۱۸ میلیباری نیز بر روی پاکستان از بین رفته‌اند.



شکل ۴ توزیع میانگین فشار پاییز منطقه مورد مطالعه در دوره آماری ۱۹۶۱-۱۹۹۰



شکل ۵ توزیع میانگین فشار زمستان منطقه مورد مطالعه در دوره آماری ۱۹۶۱-۱۹۹۰

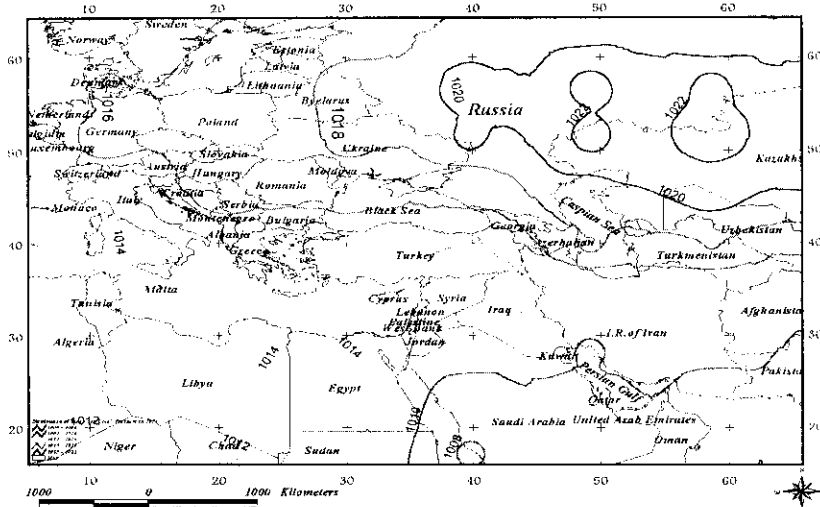
#### تحلیل الگوی سینوپتیکی ده ساله اخیر (۱۹۹۱ تا ۲۰۰۰)

۱. الگوهای سالانه: همان‌گونه که در شکل ۶، توزیع میانگین فشار سالانه در دوره آماری

۱۹۹۱ تا ۲۰۰۰ نشان داده شده است، بجز سالهای ۱۹۹۷، ۱۹۹۹ و ۲۰۰۰، در بقیه سالها الگوی پرفشار

## Archive of SID

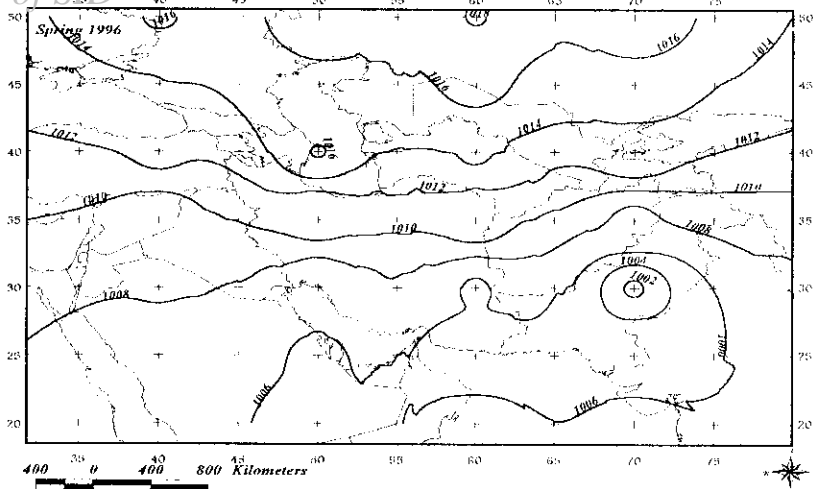
۱۰۱۸ میلی باری بر روی آسیای مرکزی (به مرکزیت قراستان) بسته شده است. این الگو در سالهای ۱۹۹۴، ۱۹۹۵ و بخصوص ۱۹۹۶ تقویت شده و مرکز پرفشار به ۱۰۲۰ و ۱۰۲۲ میلی بار نیز می‌رسد. بخش اروپایی منطقه مورد مطالعه، عموماً تحت تأثیر پرفشار ۱۰۱۷ میلی باری قرار دارد. اما این الگو در سالهای ۱۹۹۱، ۱۹۹۳، ۱۹۹۷ و ۱۹۹۸ تا حدودی تقویت شده و پرفشار ۱۰۱۸ میلی باری در آن‌جا شکل می‌گیرد. طی سالهای مذکور، بخش‌های جنوب شرقی نقشه (شامل دریای عمان، خلیج فارس و جنوب عربستان) در گستره کم فشار ۱۰۱۰ میلی باری قرار دارند که در سالهای ۱۹۹۲ تا ۱۹۹۶، ۱۹۹۹ و ۲۰۰۰ سلولهای کم فشار بسته ۱۰۰۸ میلی باری نیز دیده می‌شود.



شکل ۶ توزیع میانگین فشار سالانه در دوره آماری ۱۹۹۱-۲۰۰۰

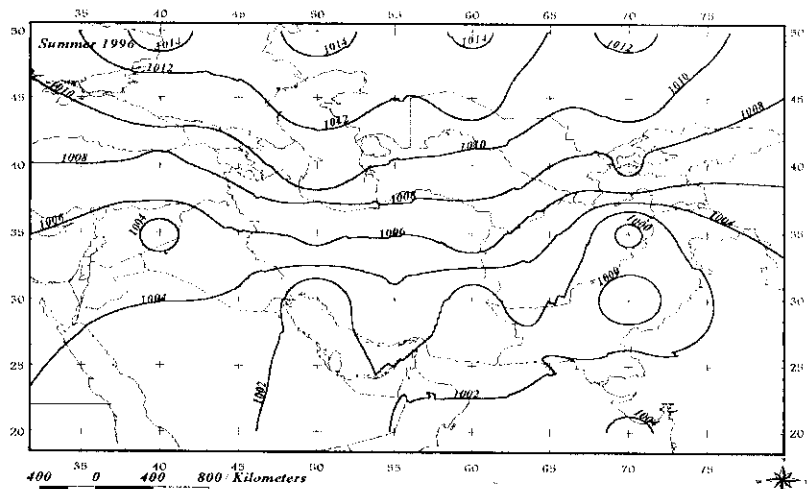
## ۲. الگوهای فصلی

بهار: طبق نتایج تحلیل شده که نمونه آن در شکل ۷ برای سال ۱۹۹۶ است، در ده ساله اخیر، پرفشار نوار شمالی کشور در سالهای ۱۹۹۲، تا ۱۹۹۶ و بخصوص سال ۱۹۹۶، تقویت شده است. در حالت نرمال، ایزوبار ۱۰۱۲ میلی باری از نوار شمالی کشور عبور می‌کند؛ اما در سالهای مذکور ایزوبار ۱۰۱۴ میلی باری تا سواحل جنوبی خزر گسترش یافته است. در سال ۱۹۹۶، بر روی جنوب خزر سلول پرفشار بسته ۱۰۱۶ میلی باری نیز ایجاد شده است. همچنین، در سالهای ۱۹۹۴، ۱۹۹۹ و تا حدودی سال ۲۰۰۰، کم فشار جنوبی تقویت شده و سلولهای بسته ۱۰۰۴ میلی بار نیز در این سالها مشاهده می‌شود. علاوه بر این، در برخی سالهای، زبانه کم فشار ۱۰۰۶ میلی باری، گسترش زیادی به سمت غرب کشور داشته است.



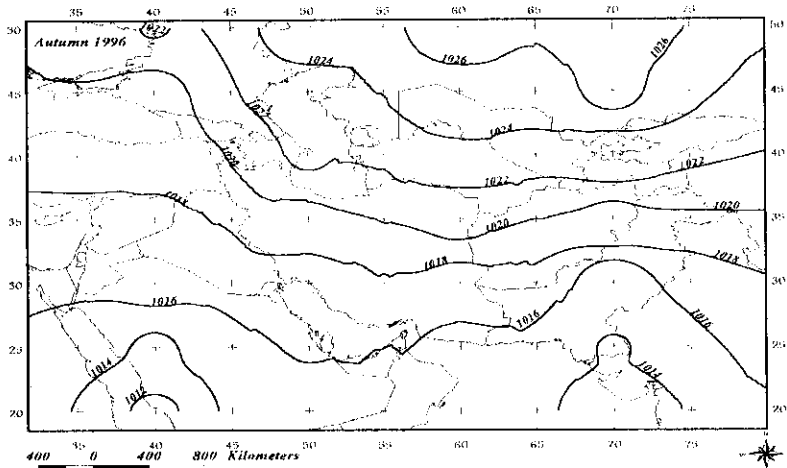
شکل ۷ توزیع میانگین فشار فصل بهار در سال ۱۹۹۶

تابستان: بر اساس نتایج ارائه شده در شکل ۸، برای نمونه در سال ۱۹۹۶، در الگوهای تابستان سالهای ۱۹۹۱، ۱۹۹۴، تا ۱۹۹۸ و ۱۹۹۸ پرفشار شمال کشور تقویت شده و ایزوبار ۱۰۱۴ و گاهی ۱۰۱۶ میلی‌باری نیز از جنوب دریای خزر عبور کرده است. در بخش‌های جنوب غربی کشور، طی سالهای ۱۹۹۱ تا ۱۹۹۵، ۱۹۹۸، ۱۹۹۸ تا ۲۰۰۰، کم فشار جنوبی تقویت شده و ایزوبار بسته ۱۰۰۰ میلی‌باری و در سال ۱۹۹۴ ایزوبار ۹۹۸ میلی‌بار نیز بسته شده است. در سال ۱۹۹۵، با تقویت موسمون هندوستان، ایزوبار بسته ۱۰۰۰ میلی‌باری در جنوب شرق کشور دیده می‌شود.



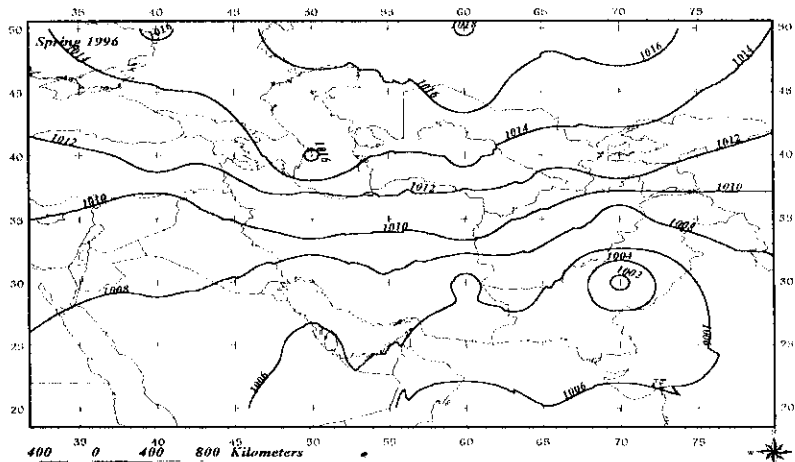
شکل ۸ توزیع میانگین فشار فصل تابستان در سال ۱۹۹۶

پاییز: طبق نتایج ارائه شده در شکل ۹، برای نمونه در این فصل طی سالهای ۱۹۹۳، ۱۹۹۶، ۱۹۹۸ و ۲۰۰۰، پرفشار نوار شمالی کشور تقویت شده و ایزوبار ۱۰۲۲ میلی‌باری از این ناحیه گذر کرده است. اما در بخش‌های جنوب شرقی کشور، طی سالهای ۱۹۹۸، ۱۹۹۹ و ۲۰۰۰ کم فشار جنوبی تقویت شده و زیانه کم فشار ۱۰۱۴ میلی‌باری به جنوب شرق کشور گسترش یافته است.



شکل ۹ توزیع میانگین فشار فصل پائیز در سال ۱۹۹۶

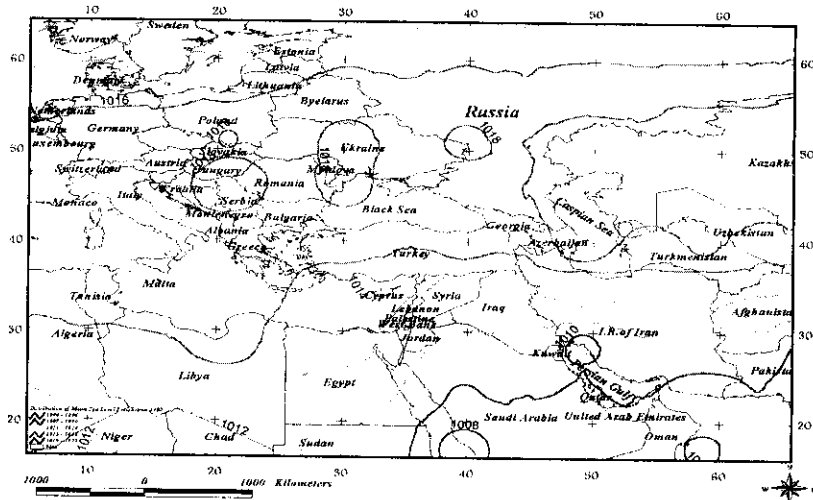
زمستان: شکل ۱۰، یک نمونه از تحلیل آماری این دوره آماری را چنان نشان می‌دهد که طی سالهای ۱۹۹۱ تا ۱۹۹۶ پرفشار نوار شمالی کشور نسبت به دوره آماری تقویت شده و به طور میانگین ایزوبار ۱۰۲۲ میلی‌باری از این ناحیه عبور کرده است. در بخش‌های جنوب غربی نیز طی سالهای ۱۹۹۱، ۱۹۹۶، ۱۹۹۴ تا ۱۹۹۹ و بخصوص ۲۰۰۰ تقویت شده و ایزوبار ۱۰۱۶ میلی‌باری از مرکز خلیج فارس عبور می‌کند.



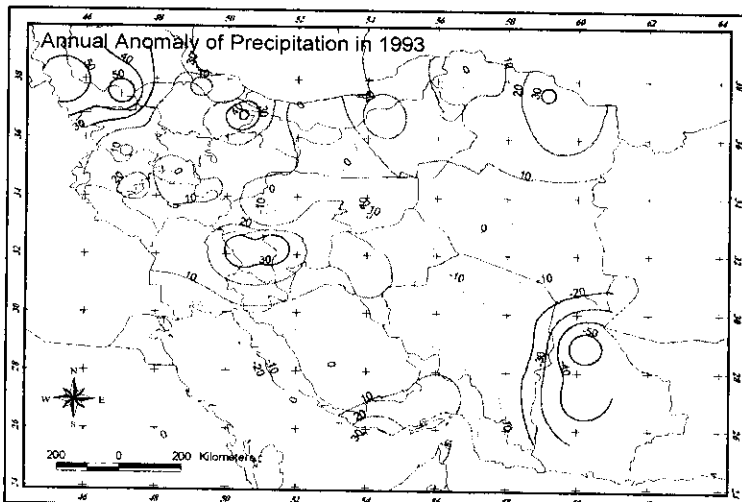
شکل ۱۰ توزیع میانگین فشار فصل بهار در سال ۱۹۹۶

## تحلیل بارندگی - فشار ده ساله اخیر کشور

(الف) سالانه: بررسی الگوهای سینوپتیکی میانگین سالانه، حاکم از همبستگی بین بارندگی کم فشار بسته ۱۰۰۸ میلی‌باری بر روی دریای عمان و خلیج فارس است؛ به طوری که تقویت این الگو موجب کاهش بارندگی در نوار جنوبی کشور و افزایش آن در سایر نقاط می‌گردد. همچنین، وجود پرفشار با ایزوبار بیش از ۱۰۱۸ در عرض  $50^{\circ}$  شمالی، حول و حوش قراقتان، موجب کاهش بارندگی در نواحی شمالی کشور و افزایش نسبی آن در سایر نقاط می‌گردد. در شکل‌های ۱۱ و ۱۲، برای نمونه توزیع فشار و بارندگی سالانه ۱۹۹۳ دیده می‌شود.

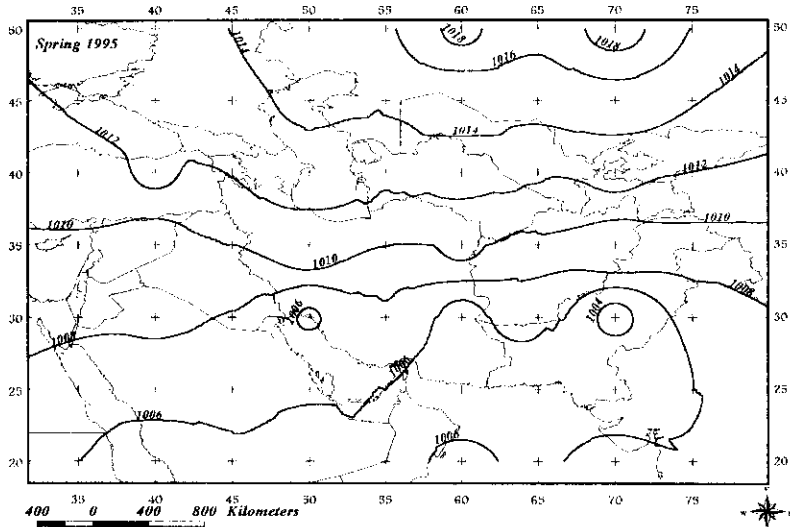


شکل ۱۱ توزیع میانگین فشار سال ۱۹۹۳، در منطقه مورد مطالعه

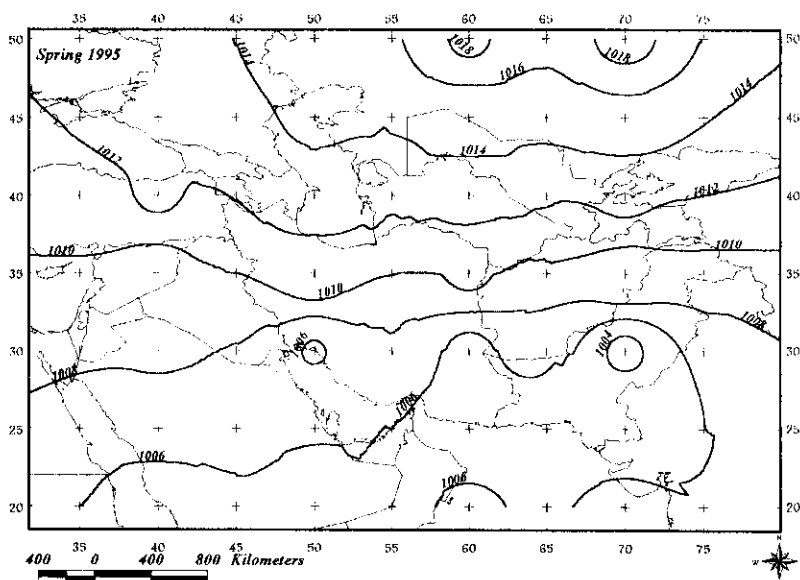


شکل ۱۲ توزیع بارندگی سال ۱۹۹۳، بر روی ایران

**ب) فصلی:** در این قسمت، همبستگی بین الگوهای سینوپتیکی فصل بهار، پاییز و زمستان، با بارندگی‌های مربوط مقایسه می‌شود. به دلیل نبود بارش قبل ملاحظه در فصل تابستان، مطالعه‌ای روی آن صورت نگرفت. نتایج به دست آمده بدین شرح است: در فصل بهار، تقویت پرفشار در کشورهای حاشیه شمالی ایران موجب افزایش بارندگی و تضعیف آن باعث کاهش بارندگی در کشور می‌شود.

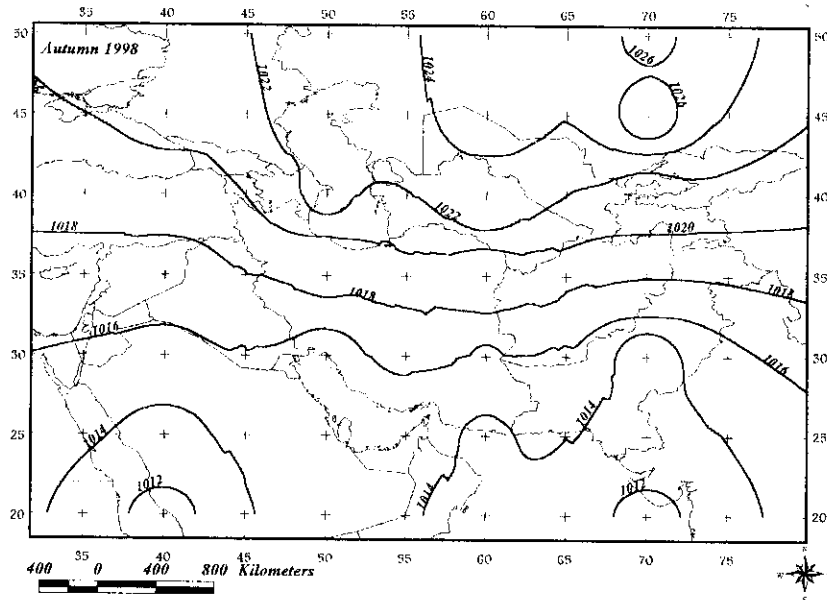


شکل ۱۳ توزیع میانگین فشار فصل بهار سال ۱۹۹۵

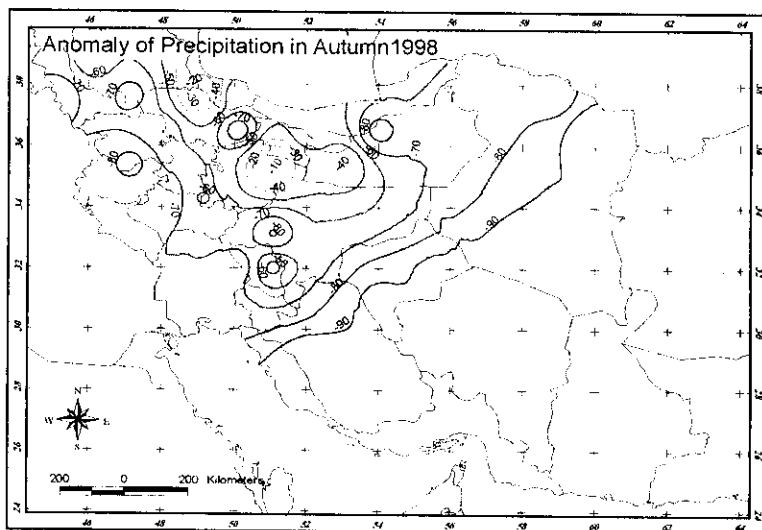


شکل ۱۴ توزیع بارندگی فصل بهار سال ۱۹۹۵

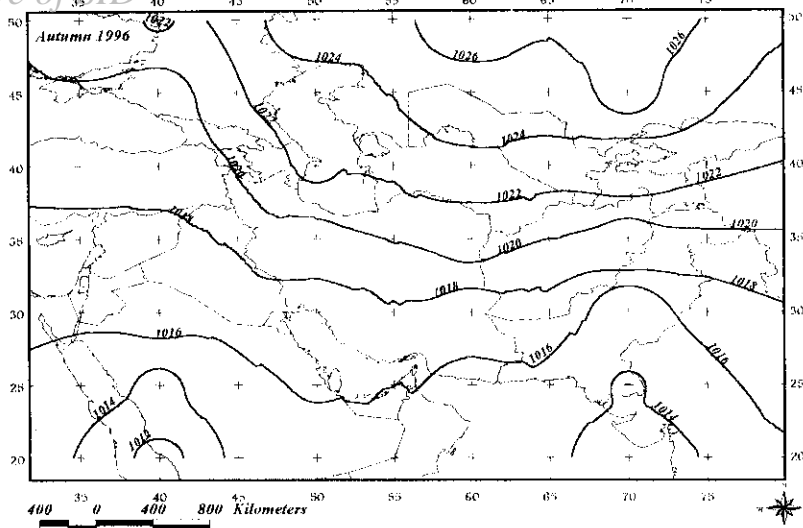
در فصل پائیز تقویت کم فشار شمال اقیانوس هند موجب کاهش بارندگی در جنوب شرق کشور می‌گردد، مانند سالهای ۱۹۹۸، ۱۹۹۹ و ۲۰۰۰. همچنین در این فصل نفوذ زیانه پرفشار ۱۰۲۰ میلی‌باری به سواحل غربی خزر باعث کاهش بارندگی در شمال و مرکز کشور می‌گردد.



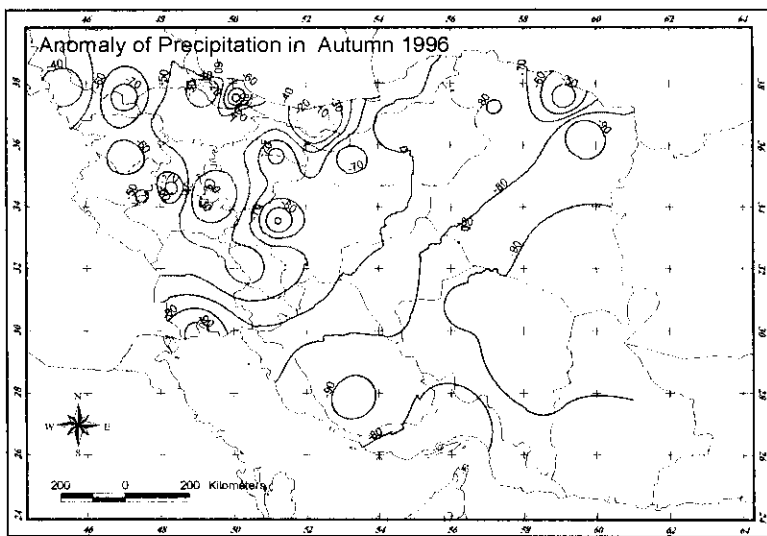
شکل ۱۵ توزیع میانگین فشار فصل پائیز، سال ۱۹۹۸



شکل ۱۶ توزیع بارندگی فصل پائیز، سال ۱۹۹۳



شکل ۱۷ توزیع میانگین فشار فصل پاییز، سال ۱۹۹۶

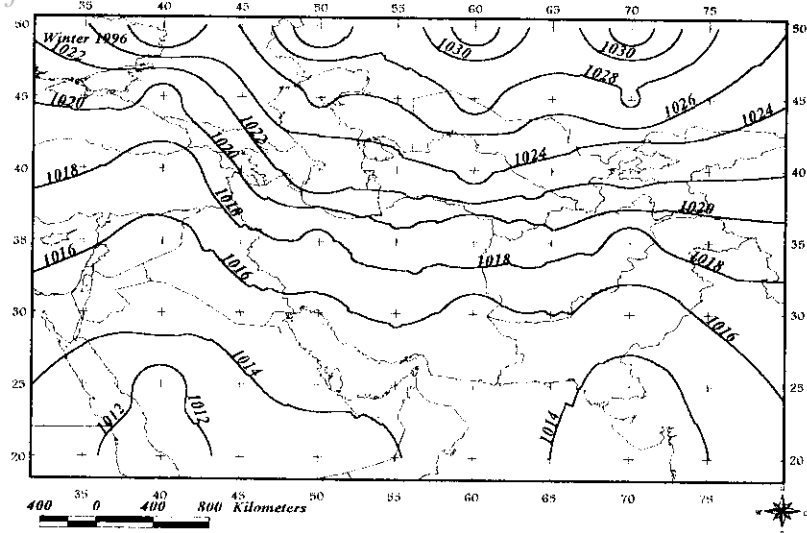


شکل ۱۸ توزیع بارندگی فصل پاییز، سال ۱۹۹۶

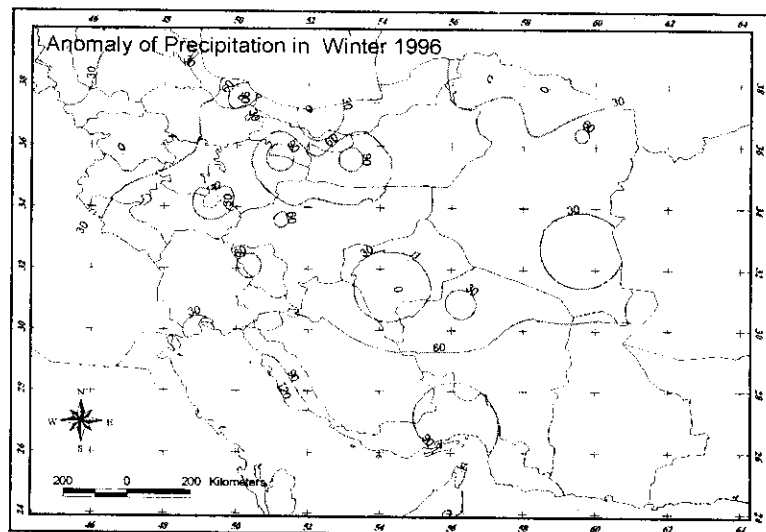
اما در فصل زمستان، به طور کلی وجود گرادیان فشار شمال شرقی - جنوب غربی موجب افزایش بارندگی در کشور می‌گردد، مانند سال ۱۹۹۶.

همچنین، وجود یک الگوی کم فشار در غرب عربستان، موجب افزایش بارندگی در کشور

می‌گردد (جوامرد، ۱۳۸۳).  
www.SID.ir



شکل ۱۹ توزیع میانگین فشار فصل زمستان، سال ۱۹۹۶



شکل ۲۰ توزیع بارندگی فصل زمستان، سال ۱۹۹۶

### نتیجه‌گیری

با بررسی الگوهای سینوپتیکی سالانه و فصلی فشار و بارش مربوط در کشور، نتایج زیر قابل

ارائه است:

وجود گرادیان فشار شمال شرقی - جنوب غربی، موجب افزایش بارش کشور می‌گردد.

- وجود پرفشار در غرب خزر، موجب افزایش بارش کشور می شود.
- وجود کم فشار نسبی در شمال اقیانوس هند و دریای عمان، باعث کاهش بارندگی در جنوب شرق کشور می گردد.
- وجود یک الگوی کم فشار نسبی بر روی شمال عربستان و مدیترانه، موجب افزایش بارندگی در کشور می گردد.
- تقویت بیش از حد پرفشار واقع بر روی عرض  $N^{\circ} ۵۰$  (قراقرستان)، موجب کاهش بارش در شمال کشور می گردد.
- بررسی الگوهای سینوپتیکی سطح زمین و همبستگی آن با بارش کشور، می تواند روش بسیار مناسبی برای پیش‌بینی‌های اقلیمی باشد.  
با توجه به شواهد موجود در خصوص تشدید پدیده‌های جوی در ۳ دهه اخیر، نتایج چنین تحقیقی امکان ایجاد سیستم پیش‌آگاهی را فراهم می‌آورد. امید است در آینده نزدیک، نتایج تکمیلی این تحقیق ارائه گردد.

### تقدیر و تشکر

این مقاله از فاز اول طرح "آشکارسازی سینوپتیک - دینامیک تغییر اقلیم" که در پژوهشکده اقلیم‌شناسی در حال انجام است، استخراج شده است. نتایج نهایی پس از اتمام طرح و با لحاظ الگوهای سطوح فوقانی جو ارائه خواهد شد.

بدین وسیله از حمایتهای همه جانبی سازمان هواشناسی کشور در اجرای این پروژه و از استاد محترم جناب آفای دکتر علیجانی در ارائه راهنماییهای استادانه‌شان در مراحل مختلف تحقیق، تشکر و قدردانی می‌نمایند.

## منابع و مأخذ

۱. علیجانی، بهلول (۱۳۸۱): اقلیم‌شناسی سینوپتیک، انتشارات سمت.
۲. جوانمرد، سهیلا و دیگران (۱۳۸۳): آشکارسازی سینوپتیک - دینامیک تغییر اقلیم بر روی ایران، گزارش مقدماتی طرح، پژوهشکده اقلیم‌شناسی، مشهد.
۳. زاهدی، مجید (۱۳۷۸): تحقیق خشکسالی‌های فرآگیر ایران با استفاده از تحلیلهای سینوپتیک، رساله دکتری اقلیم‌شناسی، گروه جغرافیای دانشگاه تبریز.
۴. سبزی‌پرور، علی‌اکبر (۱۳۷۹): بررسی سینوپتیکی روند خشکسالی در استان همدان، گزارش نهایی طرح، سازمان هواشناسی کشور.
۵. علیجانی، بهلول: بررسی الگوهای سطح ۵۰۰ هکتوپاسکال در خاورمیانه در دوره آماری ۱۹۶۱-۹۰، مجله نیوار، شماره ۴۴ و ۴۵، بهار و تابستان ۱۳۸۱
۶. لشکری، حسن (۱۳۷۵): الگوی سینوپتیکی بارش‌های شدید جنوب غرب ایران، رساله دکتری آب و هواشناسی، دانشگاه تربیت مدرس
7. Ahrens, C. D., (2003): "Meteorology Today", (7<sup>th</sup> edition). Brooks/Cole-thomson Learning, 2003, California.
8. Alpert, P. et al., (1990): "Climatological Analysis of Mediterranean cyclones using ECMWF data", Tellus; Vol 42A, pp. 64-77.
9. Harman, J.R., (1991): "Synoptic Climatology of the Westerlies: Processes and Patterns, Resource Publications in Geography", Association of American Geographers, Washington D.C.
10. Jamali, J.B., Babaeian, I. (2004): "Climate chang detection over I. R. of Iran using Historical pressure patterns, Proceeding of ICHWC2004 Conference, Seoul.
11. Rogers, Jc. (1984): "The Association between the North Atlantic Oscillation and Southern Oscillation and European Climate", Nature 398, 320-323.
12. Shahabbar, A., Huang, Higuchik, J. (2001): "The Relationship between the Winter time North Atlantic Oscillation and Blocking Episode in the North Atlantic", International Journal of Climatology 21, 355-369.
13. Stark, L.P. (1965): "Positions of Monthly Mean Troughs and Ridges in the Northern Hemisphere", Monthly Weather Review, 93, 705-20.
14. <http://www.cra.uea.ac.uk/cru/data>
15. <http://www.cdc.noaa.gov/cdc/reanalysis>